

## اثر اتصال به روش فاز مایع گذرا بر ریزساختار و خواص مکانیکی فولاد زنگ نزن ۳۰۴

هیعنی نیکدین (کارشناس)  
علی‌اکبر اکرامی (استاد)  
دانشکده‌ی مهندسی و علم مواد، دانشگاه صنعتی شریف

در این تحقیق برای اتصال فولاد زنگ نزن ۳۰۴ از روش فاز مایع گذرا<sup>۱</sup>، با لایه‌ی واسط پایه‌ی نیکل به ضخامت  $50\text{ }\mu\text{m}$  و دمای  $1100^{\circ}\text{C}$  استفاده شده است. اتصال در اتمسفرهای مختلف کوره، گاز آرگون، و خلا، در مدت زمان‌های مختلف (از  $30$  تا  $180$  دقیقه) انجام شد. اتصالات ایجاد شده به مدت  $120$  دقیقه در دمای  $1150^{\circ}\text{C}$  همگنسازی شدند. ریزساختار محل اتصال با میکروسکوپ نوری بررسی و استحکام برشی اتصالات اندازه‌گیری شدند. نتایج بررسی‌های ریزساختاری حاکی از وجود حفره‌ها و تخلخل‌ها در محل اتصال اتصالات ایجاد شده در اتمسفر کوره و گاز آرگون است. این تخلخل‌ها و حفره‌ها در اثر اکسیدشدن لایه‌ی واسط و فصل مشترک اتصال - فلز پایه به هنگام عملیات اتصال تشکیل می‌شوند در اتصالات ایجادشده در خلا<sup>۲</sup> این حفره‌ها و تخلخل‌ها مشاهده نشد. نتایج آزمایشات مکانیکی نشان می‌دهد که اتصال ایجاد شده در خلا و به مدت  $180$  دقیقه بهترین استحکام برشی را ارائه می‌کند که خیلی نزدیک به استحکام برشی فلز پایه است.

زنگ نزن ۳۰۴ به روش فاز مایع گذرا است. اثر اتمسفر محافظه و زمان اتصال نیز بر ریزساختار اتصال مورد بررسی قرار گرفته است.

### مقدمه

در اتصال به روش فاز مایع گذرا، از یک لایه‌ی نازک آلیاژی با ترکیب و دمای ذوب مشخص، به عنوان لایه‌ی واسط<sup>۲</sup> استفاده می‌شود. لایه‌ی واسط معمولاً آلیاژی اوتکتوپید از فلز پایه است که دارای عناصر کاهنده‌ی نقطه‌ی ذوب (مثل B, Si, P) است. پس از قراردادن لایه‌ی واسط در بین دو قطعه‌یی که باید بهم متصل شوند، مجموعه را تا دمای اتصال که معمولاً کمی بالاتر از نقطه‌ی ذوب لایه‌ی واسط است در کوره خلا<sup>۳</sup> یا اتمسفر محافظه آرگون حرارت می‌دهند. با رسیدن دمای کوره به دمای اتصال لایه‌ی واسط ذوب می‌شود. با نگهداری قطعات در این دما، عناصر آلیاژی بین مذاب و فلز پایه (به خصوص عناصر P, B, Si, P) نفوذ می‌کنند و موجب تغییر در ترکیب شیمیایی می‌شوند. با این تغییر در ترکیب شیمیایی دمای انجماد مذاب افزایش و مذاب به صورت هم‌دام (ایزوترم) منجمد می‌شود. اتصال ایجاد شده از نظر ترکیب شیمیایی و ریزساختار کمی با فلز پایه متفاوت است. برای همگنس‌ساختار اتصال، معمولاً قطعات متصل شده را به مدتی طولانی تر در دمای اتصال یا زمانی کوتاه‌تر در دمای‌های بالاتر نگهداری می‌کنند. در این فرایند فشار اعمالی معمولاً کم و در حد  $10\text{ PSI}$  است.<sup>[۱]</sup>

روش تحقیق  
در این تحقیق از فولاد زنگ نزن آستنیتی ۳۰۴ به عنوان فلز پایه، و از آلیاژ تجاری MBF<sup>۳۰</sup> به ضخامت  $50\text{ }\mu\text{m}$  به عنوان لایه‌ی واسط استفاده شده است. ترکیب شیمیایی فولاد و لایه‌ی واسط در جدول ۱ آمده است.

برای اتصال، نمونه‌هایی از فولاد به بعد  $12 \times 12\text{ mm}$  به عرض  $5 \times 5\text{ mm}$  تهیه و سپس سطح نمونه‌ها با کاغذ سنباده تا شماره  $1200\text{ }\mu\text{m}$  صیقل کاری و تا قبل از عملیات اتصال در محلول استن نگهداری شدند. برای اتصال، ورقی نازک از لایه‌ی واسط با همان ابعاد در بین دونمونه فولادی قرار داده شد. عملیات اتصال در کوره‌یی با اتمسفرهای مختلف (ها، گاز آرگون و خلا<sup>۲</sup>) و در دمای  $1100^{\circ}\text{C}$  در مدت زمان‌های مختلف انجام شد. سپس نمونه‌های متصل شده در دمای  $1150^{\circ}\text{C}$  تحت اعمالی همگنس‌سازی قرار گرفتند. ریزساختار محل اتصال قبل و بعد از همگنس‌سازی (پس از عملیات متالوگرافی و حکاکی با محلول ماربل، شامل سولفات مس  $4\text{ g}$ ، اسید کلریدریک  $20\text{ cc}$ ، و آب  $20\text{ cc}$ ) با میکروسکوپ نوری بررسی شد. تغییرات سختی محل اتصال و فلز پایه به روش ریزسختی و با نیروی  $50\text{ gr}$ ، و نیز استحکام برشی محل اتصال

فرایند اتصال به روش فاز مایع گذرا برای اتصال تعداد زیادی از آلیاژهای پایه نیکل و سوپرآلیاژهای مستحکم شده با ذرات ریزاکسیدی<sup>۳</sup>، اتصال فلز به سرامیک، و سایر سیستم‌های آلیاژی با موفقیت انجام شده است.<sup>[۱-۲]</sup> هدف از این تحقیق به دست آوردن شرایط بهینه‌ی اتصال فولاد

جدول ۱. ترکیب شیمیابی فلز پایه و لایه‌ی واسط (درصد وزنی).

	Fe	B	w	V	Cu	Mo	Ni	Cr	S	P	Mn	Si	C
St <sup>۳۰۴</sup>	Bal	-	۰,۱۲	۰,۱۰	۰,۳۲	۰,۲۹	۹,۲۶	۱۸,۵۳	۰,۰۱۱	۰,۰۱۹	۱,۴۱	۰,۴۴	۰,۰۴
MBF <sup>۳۰</sup>	-	۳,۲	-	-	-	-	Bal	-	-	-	-	۴,۵	۰,۰۵

نقطه‌ی ذوب، یعنی B و Si از محل اتصال به فلز پایه نسبت داد. در شکل ۱ ب که ریزساختار محل اتصال را پس از همگن‌سازی نشان می‌دهد، پیدا است که عملیات همگن‌سازی تا اندازه‌ی باعث از بین رفتن این ترکیبات شده است. با توجه به نمودار فازی [۱۲] دمای اوتکتویید رسوبات احتمالی Ni-B, Ni-Si, Fe-B, Cr-B,  $1620^{\circ}\text{C}$ ,  $1150^{\circ}\text{C}$ ,  $1152^{\circ}\text{C}$ ,  $1180^{\circ}\text{C}$  است. با توجه به این که برای همگن‌سازی در دمای  $1150^{\circ}\text{C}$  این رسوبات تا اندازه‌ی از بین رفته‌اند، احتمالاً این رسوبات شامل سیلیسید نیکل و بورید نیکل و آهن هستند.

در شکل ۱ در محل اتصال حفره‌هایی نیز دیده می‌شود که تشکیل آن‌ها احتمالاً مربوط به اکسید شدن عامل اتصال و فصل مشترک اتصال - فلز پایه به هنگام عملیات اتصال است. گزارش شده است که وجود اکسید در محل اتصال مانع از چسبندگی کامل، و در نتیجه ایجاد تخلخل و حفره می‌شود. [۱۳]

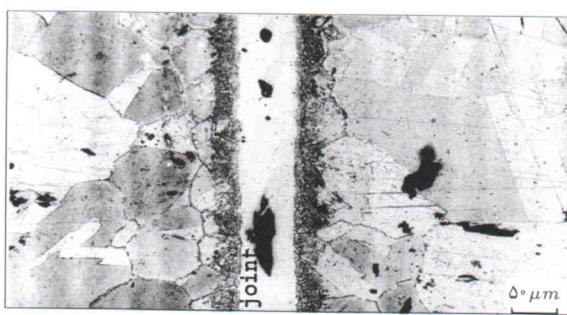
عملیات اتصال در اتمسفر محافظ آرگون نیز در دمای  $1100^{\circ}\text{C}$  و به مدت ۴۵ دقیقه انجام شد. نمونه‌ها پس از اتصال در دمای  $1150^{\circ}\text{C}$  و به مدت ۱۲۰ دقیقه همگن‌سازی شدند. ریزساختار محل اتصال قبل

اندازه‌گیری شد. برای اندازه‌گیری استحکام برشی گیره‌بی (جیگی) دو تکه ساخته شد که در هر نیمه سوراخی با ابعاد  $5 \times 10 \times 10 \text{ mm}$  تعبیه و برای نگهداری دونیمه روی هم از غلافی استوانه‌بی استفاده شد. آزمایش برش با دستگاه اینسترون و با سرعت  $2 \text{ mm/min}$  انجام شد.

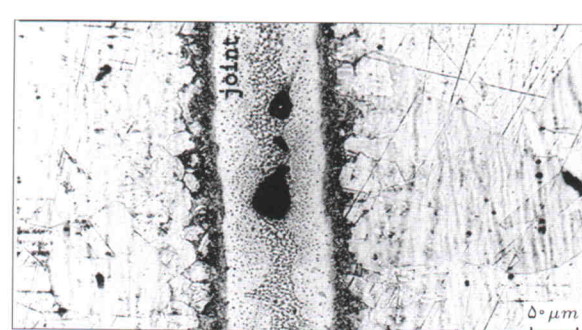
## نتایج و بحث

### ۱. ریزساختار محل اتصال

ریزساختار محل اتصال برای نمونه‌های متصل شده در دمای  $1100^{\circ}\text{C}$  و به مدت ۳۰ دقیقه در اتمسفر کوره در شکل ۱ آمده است. شکل ۱ الف ریزساختار محل اتصال را قبل از همگن‌سازی، و شکل ۱ ب ریزساختار را پس از همگن‌سازی در دمای  $1250^{\circ}\text{C}$  و به مدت ۱۲۰ دقیقه نشان می‌دهد. همان‌طور که در شکل ۱ الف دیده می‌شود فصل مشترک اتصال - فلز پایه مسطح است و در آن ترکیبات اوتکتوییدی دیده می‌شود که احتمالاً بورید و سیلیسید کرم و نیکل هستند. [۶] تشکیل این ترکیبات را می‌توان به کافی نبودن زمان برای نفوذ عناصر کاهنده‌ی

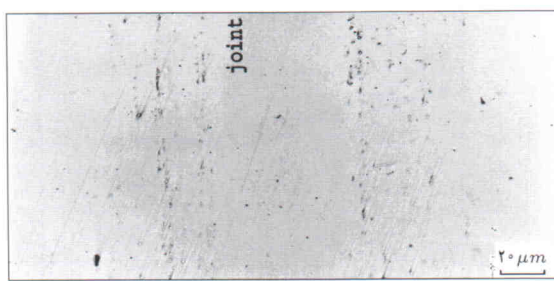


(الف) قبل از همگن‌سازی:

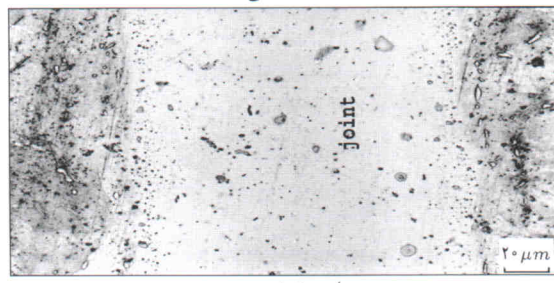
(ب) پس از همگن‌سازی در دمای  $1150^{\circ}\text{C}$  و به مدت ۱۲۰ دقیقه.شکل ۲. ریزساختار اتصال ایجاد شده در گاز آرگون به مدت زمان ۴۵ دقیقه و در دمای  $1100^{\circ}\text{C}$ .

(الف) قبل از همگن‌سازی:

(ب) پس از همگن‌سازی در دمای  $1150^{\circ}\text{C}$  و به مدت ۱۲۰ دقیقه.شکل ۱. ریزساختار اتصال ایجاد شده در اتمسفر کوره به مدت زمان ۳۰ دقیقه و در دمای  $1100^{\circ}\text{C}$ .



الف) قبل از اج:



ب) پس از اج:

شکل ۴. اتصالات ایجاد شده در خلاً به مدت ۱۸۰ دقیقه و سپس همگن‌سازی شده در دمای  $115^{\circ}\text{C}$  و به مدت ۱۲۰ دقیقه.

ریزساختار محل اتصال نمونه‌های متصل شده در مدت زمان  $180^{\circ}$  دقیقه در شکل ۴ الف نشان داده شده است. این ریزساختار مربوط به نمونه‌یی است که همگن‌سازی نیز شده است. در این شکل دیده می‌شود که اتصال نسبتاً همگنی ایجاد شده و ترکیبات اوتکتوپیدی نیز به ندرت دیده می‌شوند. شکل ۴ ب همین اتصال را پس از حکاکی نشان می‌دهد. با توجه به شکل‌های ۳ و ۴، مشاهده می‌شود اتصال در خلاً باعث عدم تشکیل تخلخل‌ها و حفره‌ها در محل اتصال و فصل مشترک می‌شوند.

## ۲. خواص مکانیکی

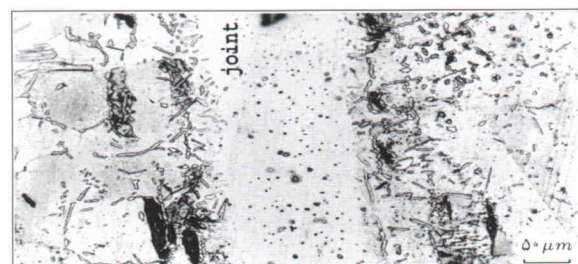
تغییرات مقادیر سختی نمونه‌های متصل شده در خلاً و در مدت زمان‌های  $60^{\circ}$  و  $180^{\circ}$  دقیقه نسبت به فاصله از مرکز اتصال در شکل ۵ الف آمده است. دیده می‌شود که مقدار سختی با افزایش فاصله از مرکز اتصال کاهش می‌یابد. بالا بودن سختی در محل اتصال و نیز فلز پایه‌یی مجاور به محل اتصال را می‌توان ناشی از درصد بالای عناصر آلیزی دانست. در این شکل دیده می‌شود که افزایش زمان اتصال از  $60^{\circ}$  به  $180^{\circ}$  دقیقه باعث کاهش سختی می‌شود که ممکن است مربوط به همگن‌تر شدن ساختار محل اتصال بر اثر کاهش عناصر آلیزی باشد. شکل ۵ ب تغییرات سختی در نمونه‌های همگن‌سازی شده در  $115^{\circ}\text{C}$  و به مدت  $120^{\circ}$  دقیقه را نشان می‌دهد. در این شکل دیده می‌شود که همگن‌سازی نمونه‌یی متصل شده در زمان  $60^{\circ}$  دقیقه به کاهش سختی نسبت به نمونه‌یی همگن‌سازی نشده منجر می‌شود (باشکل ۵ الف مقایسه شود) اما هنوز سختی محل اتصال و فلز پایه‌یی مجاور به محل

و بعد از همگن‌سازی در شکل ۲ آمده است. از این شکل پیداست که در محل اتصال ترکیبات اوتکتوپیدی وجود دارد (شکل ۲ الف)، اما پس از همگن‌سازی این ترکیبات تا اندازه‌یی از بین می‌روند (شکل ۲ ب). در محل اتصال و فصل مشترک اتصال نیز تخلخل‌ها و حفره‌ها دیده می‌شوند که حضور این تخلخل‌ها و حفره‌ها نیز می‌تواند ناشی از اکسید شدن عامل اتصال و فصل مشترک اتصال به علت وجود ناخالصی اکسیژن در گاز آرگون مصرفی باشد (جدول ۲).

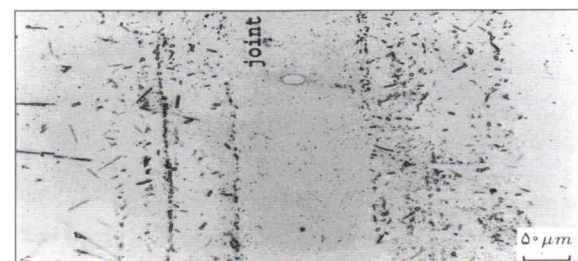
با توجه به نتایج اتصال در اتسافر کوره و در اتسافر محافظت آرگون می‌توان نتیجه گرفت که زمان  $30^{\circ}$  و  $45^{\circ}$  دقیقه برای اتصال کافی نیست؛ از این رو تقصیم گرفته شد که عملیات اتصال در خلاً در زمان‌های طولانی تر انجام شود. بدین منظور عملیات اتصال در خلاً ( $\sim 10^{-6} \text{ mbar}$ ) در زمان‌های  $60^{\circ}$  و  $180^{\circ}$  دقیقه انجام و سپس نمونه‌های متصل شده همگن‌سازی شدند. ریزساختار محل اتصال برای زمان اتصال  $60^{\circ}$  دقیقه در شکل ۳ آمده است. در شکل ۳ الف دیده می‌شود که به علت افزایش زمان اتصال و نفوذ عناصر B و Si از محل اتصال به فلز پایه ترکیبات اوتکتوپیدی تا فاصله‌یی بیشتر از فصل مشترک اتصال دیده می‌شوند. همگن‌سازی نمونه‌های متصل شده در دمای  $115^{\circ}\text{C}$  و به مدت  $120^{\circ}$  دقیقه تا اندازه‌یی باعث از بین رفتن این ترکیبات شده است (شکل ۳ ب).

جدول ۲. ترکیب شیمیایی گاز آرگون مصرفی.

Gas	Ar	Co $\text{O}_2$	O $\text{O}_2$	CnHm	H $\text{H}_2\text{O}$	N $\text{N}_2$
Argon	Bal.	< $10^{\circ}$	< $20^{\circ} \text{ ppm}$	< $10^{\circ} \text{ ppm}$	< $30^{\circ} \text{ ppm}$	< $50^{\circ} \text{ ppm}$

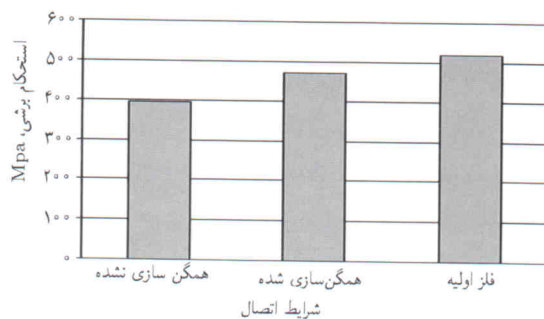


الف) قبل از همگن‌سازی:

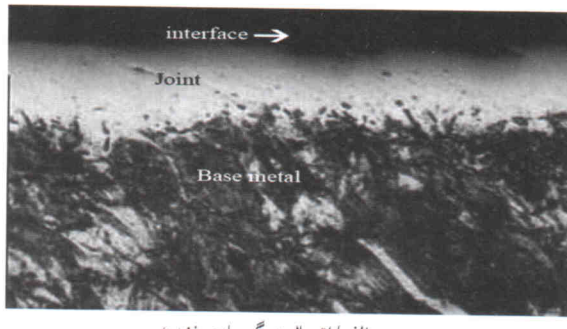


ب) پس از همگن‌سازی در دمای  $115^{\circ}\text{C}$  و به مدت  $120^{\circ}$  دقیقه.

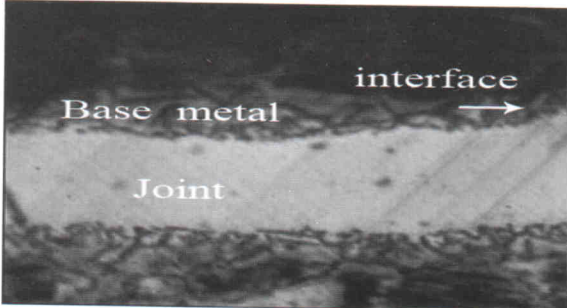
شکل ۳. ریزساختار اتصال ایجاد شده خلاً به مدت زمان  $60^{\circ}$  دقیقه و در دمای  $110^{\circ}\text{C}$ .



شکل ۶. استحکام برشی اتصالات ایجاد شده در خلا و به مدت ۱۸۰ دقیقه.



الف) اتصال همگن سازی نشده:



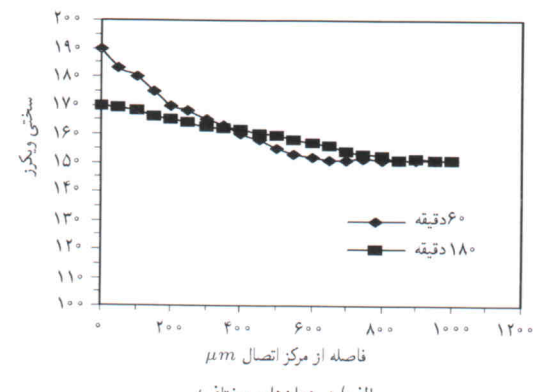
ب) اتصال همگن سازی شده.

شکل ۷. استحکام برشی اتصالات ایجاد شده در خلا و به مدت ۱۸۰ دقیقه.

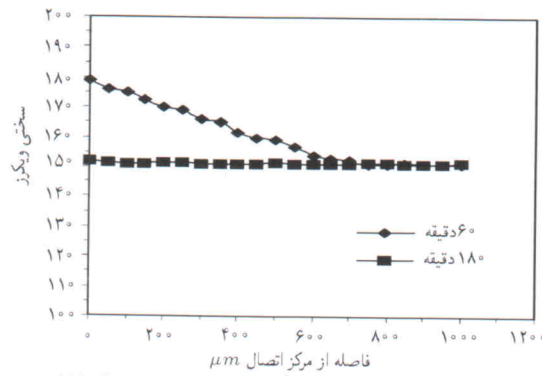
استحکام برشی فلز پایه ( $520 \text{ MPa}$ ) است. بررسی سطوح شکست نمونه های برشی نشان می دهد که در اتصال همگن سازی نشده شکست در ناحیه ای فصل مشترک اتصال - فلز پایه رخ داده است (شکل ۷الف)، حال آنکه در نمونه های همگن سازی شده شکست هم در فصل مشترک اتصال - فلز پایه، و هم در فلز پایه رخ داده است (شکل ۷ب). این نوع شکست دال بر ایجاد اتصال مناسب در این شرایط است؛ یعنی استحکام برشی فلز پایه و استحکام برشی محل اتصال به هم خیلی نزدیک آن دارد.

### نتیجه گیری

عملیات اتصال فولاد زنگ نزن  $30^{\circ}C$  به روش فاز مایع گذرا و بالایه واسط پایه نیکل در دمای  $110^{\circ}C$   $110^{\circ}C$  و به مدت زمان های مختلف در محیط های مختلف انجام شد. نمونه های متصل شده در دمای  $115^{\circ}C$  و به مدت



الف) در زمان های مختلف:



ب) در زمان های مختلف و سپس همگن سازی شده در دمای  $115^{\circ}C$  به مدت ۲ ساعت.

شکل ۵. تغییرات سختی نسبت به فاصله از مرکز اتصال در اتصالات ایجاد شده در خلا.

اتصال بالاتر از سختی فلز پایه است. اما همگن سازی نمونه های متصل شده در زمان  $180^{\circ}\text{C}$  دقیقه باعث می شود که سختی محل اتصال با فلز پایه یکسان شود. با توجه به بررسی های متالوگرافی و سختی سنجی نمونه های متصل شده در خلا به نظر می رسد که زمان اتصال  $180^{\circ}\text{C}$  دقیقه و همگن سازی نمونه های متصل شده در  $115^{\circ}C$  و به مدت  $120^{\circ}\text{C}$  دقیقه بهترین شرایط ایجاد شده برای اتصال فولاد زنگ نزن  $30^{\circ}C$   $30^{\circ}C$   $30^{\circ}M\text{BF}$  است. از این روند استحکام برشی اتصالات ایجاد شده در این شرایط اندازه گیری شد. نتایج تعیین استحکام برشی در شکل ۶ از این روند استحکام اتصالات ایجاد شده در خلا با استحکام برشی فلز پایه، نمونه هایی از فلز پایه ابتدا به مدت  $180^{\circ}\text{C}$  دقیقه در  $110^{\circ}C$   $110^{\circ}C$  و سپس به مدت  $120^{\circ}\text{C}$  دقیقه در دمای  $115^{\circ}C$  در خلا گرم شدند. پس از سرد شدن نمونه ها استحکام برشی اندازه گیری شد (شکل ۶) و مشاهده شد که استحکام برشی اتصال همگن سازی نشده کمتر از استحکام برشی اتصال همگن سازی شده است. کمتر بودن استحکام برشی نمونه های همگن سازی نشده را می توان ناشی از وجود ترکیبات اوتکتوپیدی و درصد بالای عنصر آلیاژی در محل اتصال دانست. در این شکل همچنین می توان دید که استحکام محل اتصال در نمونه های همگن سازی شده ( $470 \text{ MPa}$ ) حدوداً  $90\%$

نفوذ عناصر آلیاژی از محل اتصال به فلز پایه این ترکیبات کاهش می‌بابند. همگن‌سازی نمونه‌های متصل شده در  $180^\circ$  دقیقه باعث حذف این ترکیبات می‌شود.

۳. همگن‌سازی نمونه‌های متصل شده در خلاً و به مدت  $180^\circ$  دقیقه باعث همگن‌تر شدن ساختار و یکنواختی سختی محل اتصال با فلز پایه می‌شود.

۴. استحکام برشی نمونه‌های متصل شده در خلاً و به مدت  $180^\circ$  دقیقه و سپس همگن‌سازی شده خیلی نزدیک به استحکام برشی فلز پایه است.

۱۲۰ دقیقه همگن‌سازی شدند. بررسی ریزساختار محل اتصال در شرایط مختلف و نیز آزمایشات مکانیکی نشان داد که:

۱. ایجاد اتصال در هوای کوره و در محیط گاز آرگون باعث تشکیل تخلخل و حفره در محل اتصال و فصل مشترک اتصال - فلز پایه می‌شود. ایجاد این حفره‌ها و تخلخل‌ها به اکسید شدن فلز پایه و لایه‌ی واسطه به هنگام عملیات اتصال نسبت داده شد.

۲. در زمان‌های کوتاه اتصال، در فصل مشترک اتصال - فلز پایه ترکیبات اوتوکوپیدی تشکیل می‌شود که با افزایش زمان اتصال به علت

### پابلوشت

1. transient liquid phase
2. interlayer
3. oxide dispersion strengthened
4. planar

### منابع

1. Duall, D.S. Owczarski, W.A. and Pqulanis, D.F. "Tlp bonding: a new method for joining heat resistant alloys", *Welding Journal*, **53**, p. 203 (1974).
2. Kokawa, H. Lee, C.H. and North, T.H. "Effect of grain boundaries on isothermal solidification during transient liquid phase brazing", *Metall. Trans. A*, **22A**, p. 1627 (1991).
3. Saida, K. Zhou, Y. and North, T.H. "The influence of base metal grain size on isothermal solidification during transient liquid phase brazing of nickel", *J. Mater. Sci.*, **28**, p. 6427 (1993).
4. Khan, T.I. and Wallche, E.R. "Use of sputter coating to control parent metal dissolution during transient liquid phase bonding", *J. Mater. Sci.* **31**, p. 2937 (1996).
5. Khan, T.I. and Wallche, E.R. "Transient liquid phase diffusion bonding and associated recrystallization phenomena when joining ODS ferrite alloys", *Mater. Sci. Tech.*, **12**, p. 603 (1996).
6. Ekrami, A. and Khan, T.I. "Transient liquid phase diffusion bonding of oxide dispersion strengthened alloy MA758", *Mater. Sci. Tech.*, **15**, p. 946 (1999).
7. Ekrami, A. Khan, T.I. and Malik, H. "Effect of transient liquid phase diffusion bonding on properties of ODS nickel alloy MA758", *Mater. Sci. Tech.*, **19**, p. 132 (2003).
8. Khan, T.I. Kabir, M.J. Bulpett, R. "Effect of transient liquid phase bonding variables on the properties of a micro-duplex stainless steel", *Mater. Sci. and Engineering*, A372, p. 290 (2004).
9. Khan, T.I. Ohan, N. and Eroglu, M. "Transient liquid phase bonding of a microduplex stainless steel using amorphous interlayer", *Mater. Sci. Tech.* **18**, p. .396 (2002).
10. Chang, L.S. Hung, C.F. "Transient liquid phase bonding of alumina via boron oxide interlayer", *Ceramic International*, **30**, p. 2121 (2004).
11. Ceccone, G. Nicholas, M. G. Peteves, S. D. Tomsia, A.P Dagleish, B.J. and Glaeser, A.M. "An evaluation of the partial transient liquid phase bonding of  $\text{Si}_3\text{N}_4$  using AU coated Ni-22 CR foils", *Acta Mater.*, **44**, p. 657 (1996).
12. Brandes, E.A. Brook G.B.(eds.) Smithells metal reference book, 7th edn, 11-7-11-485, Oxford, UK, Butterworth-Heinemann (1992).
13. Bhadeshia, H.K.D.H. "Joining of commertial aluminum alloys", *Proceedings of international conference on Aluminum(INCAL 03)*, Aluminum Association of India, Bangalore, eds S. Subramanian, D. H. Sastry, p. 195 (2003).

